

СТРИКЦИЯ АНТИФЕРРОМАГНИТНОГО ПЕРЕХОДА И МАГНИТНЫЙ ПАРАМЕТР ГРЮНАЙЗЕНА α -Mn

*А.Н. Васильев, В.Д. Бучельников, Р.Ш. Георгиус, А.С. Илюшин,
Ю.И. Савченко*

Исследованы температурные зависимости эффективности электромагнитного возбуждения упругих волн и скоростей поперечного и продольного звуков в поликристалле α -Mn. Определены спонтанная стрикция антиферромагнитного перехода (магнитообъем) $W \approx 8 \cdot 10^{-4}$ и магнитный параметр Грюнайзена в антиферромагнитной фазе $\Gamma_M = -47$.

Марганец α -модификации известен как неколлинеарный четырехподрешеточный антиферромагнетик с температурой Нееля $T_N = 95$ К. Магнитная структура α -Mn изучена достаточно подробно¹, в то же время ряд важных магнитоупругих параметров этого металла не был определен. В настоящей работе исследованы температурные зависимости модулей упругости и эффективности электромагнитного возбуждения звука в α -Mn. Значения модулей сжатия E и сдвига G в интервале 4-300 К вычислялись из температурного хода скоростей продольного S_l и поперечного S_t звука с использованием данных по температурной зависимости плотности металла ρ ².

Фазовые скорости упругих волн измерялись бесконтактным методом путем электромагнитного возбуждения стоячих звуковых колебаний в плоскопараллельной пластине металла. Генерация звука происходила за счет индукционного взаимодействия переменного тока, наводимого электромагнитной волной в скин-слое металла, с постоянным магнитным полем. В условиях антисимметричного возбуждения - образец размещался в параллельных друг другу возбуждающей и приемной катушках индуктивности - резонансные особенности поверхностного импеданса наблюдались при совпадении полуцелого числа длин звука с толщиной пластины. По частотам резонансных особенностей рассчитывались скорости упругих волн, амплитуды и добротности акустических резонансов несли информацию об эффективности электромагнитно-акустического преобразования и о затухании звука. Измерения проводились на поликристаллическом образце в магнитном поле до 8 Тл на частотах $10^6 - 10^7$ Гц.

На рис. 1 показаны температурные зависимости амплитуд акустических резонансов поперечного A_t и продольного A_l звуков в α -Mn. Резкое уменьшение сигналов вблизи T_N , как это следует из измерений добротностей резонансов, обязано возрастанию затухания звука при фазовом переходе.

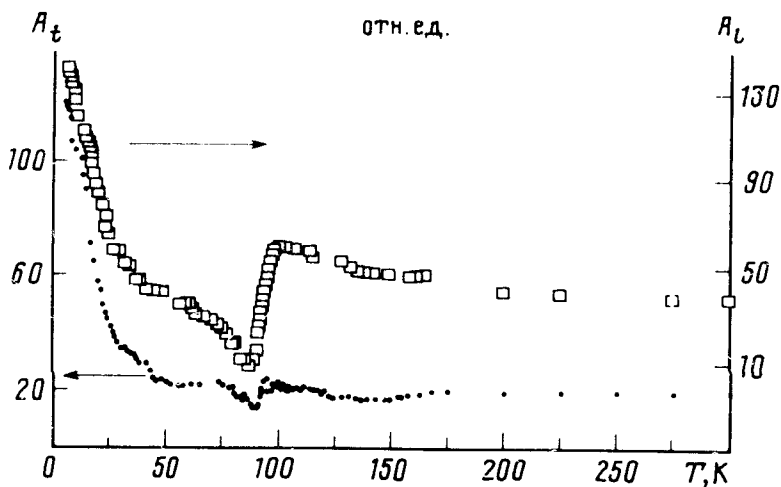


Рис. 1. Температурные зависимости амплитуд акустических резонансов поперечного A_t и продольного A_l звуков в α -Mn

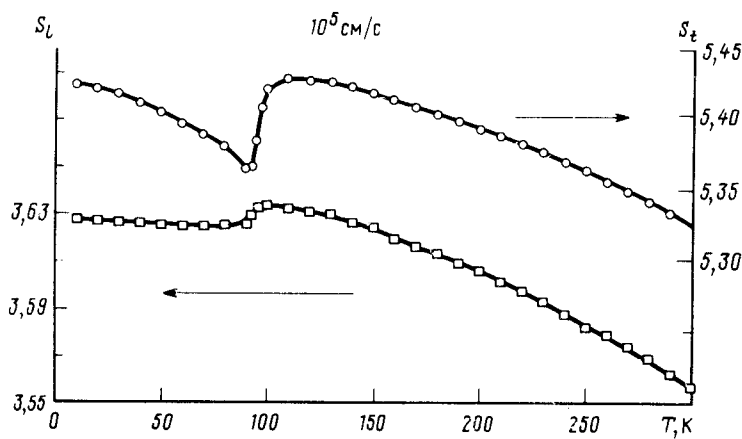


Рис. 2. Температурные зависимости скоростей поперечного S_t и продольного S_l звуков в α -Mn

Отметим, что ранее в металлах с гигантской магнитострикцией Тв и Dy³, в точках Нееля наблюдалось резкое увеличение амплитуд акустических резонансов, то есть рост сигналов за счет увеличения эффективности трансформации перекрывал его уменьшение за счет затухания. Уже из этого факта следует качественный вывод о малости констант магнитоупругой связи в α -Mn.

Интересной особенностью представленных зависимостей является аномальное возрастание эффективности ЭМАП при низких температурах. Из проведенных нами дополнительных измерений магнитных и транспортных свойств образца следует, что такое поведение не объясняется в рамках индукционного механизма ЭМАП и связано с появлением магнитоупругого механизма генерации звука⁴. Поскольку в α -Mn не происходит каких-либо магнитных превращений ниже точки Нееля, можно предположить, что этот эффект обязан переходу в магнитное

состояние окиси марганца Mn_3O_4 , температура Кюри которой $T_C = 42,5$ К. На появление паразитного ферромагнетизма при этой температуре указывалось также в⁵.

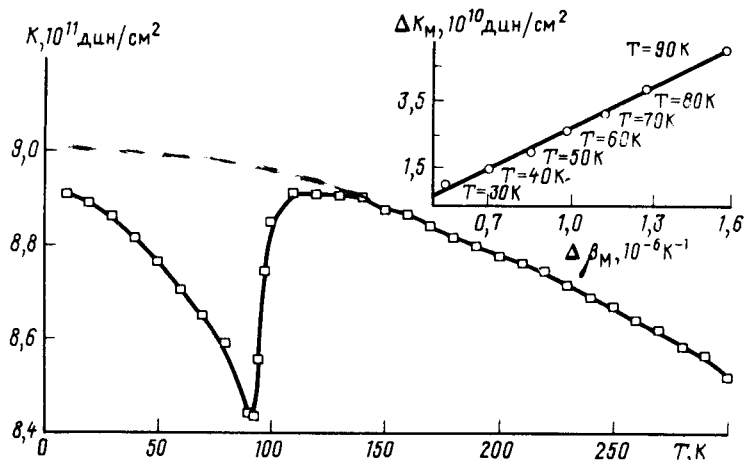


Рис. 3. Температурная зависимость модуля всестороннего сжатия K в α -Мп, пунктиром показана экстраполяция из парамагнитной фазы. На вставке показаны магнитные вклады в модуль всестороннего сжатия ΔK_M и коэффициент теплового расширения $\Delta\beta_M$

Температурные зависимости скоростей продольного S_l и поперечного S_t звука показаны на рис. 2. Скачок модуля сжатия $\Delta E/E = 2 \cdot \Delta S_l/S_l$ в точке Нееля составил $2,6 \cdot 10^{-2}$, модуля сдвига $\Delta G/G = 2 \cdot \Delta S_t/S_t - 6 \cdot 10^{-3}$. Из этих данных может быть рассчитан температурный ход модуля всестороннего сжатия⁵:

$$K = E - 4/3 \cdot G. \quad (1)$$

Скачок K при T_N составил $5,1 \cdot 10^{-2}$.

Можно показать¹⁾, что скачок модуля всестороннего сжатия в точке Нееля пропорционален квадрату изотропной магнитострикции γ и обратно пропорционален постоянной однородного обмена b . Используя для оценки выражение для обменной постоянной в виде⁷ $b = 3NkT_N/80M^4$, где N - плотность атомов, k - постоянная Больцмана, M - намагниченность подрешетки, получим, что спонтанная стрикция перехода (магнитообъем) в α -Мп $W = \gamma M^2/K_N = 8 \cdot 10^{-4}$, где K_N - модуль всестороннего сжатия в точке Нееля. Эта величина хорошо согласуется с данными, полученными из температурного хода коэффициента теплового расширения β ².

Из температурного хода K в антиферромагнитной фазе с использованием данных по температурной зависимости β ² рассчитан магнитный параметр Грюнайзена в α -Мп. Для определения магнитного вклада $\Delta K_M(T)$ в модуль всестороннего сжатия, зависимость $K(T)$ экстраполировалась, как показано на рис. 3, из парамагнитной фазы в область низких температур и из нее вычиталась экспериментальная зависимость $K(T)$ в антиферромагнитной фазе. Отношение $\Delta K_M(T)/\Delta\beta_M(T)$, где $\beta_M(T)$ - магнитный вклад в коэффициент теплового расширения, оказалось постоянным при $T < T_N$ (см. вставку на рис. 3), что, в соответствии с разработанной Фоссеттом⁹ процедурой, позволило определить

¹⁾Расчету особенностей поведения упругих модулей и эффективности электромагнитно-акустического преобразования в области антиферромагнитного перехода предполагается посвятить отдельное сообщение.

магнитный параметр Грюнайзена α – Mn в антиферромагнитной фазе

$$\Gamma_M = (-T_N \cdot K_N)^{-1} \cdot (\Delta K_M(T/T_N)/\Delta\beta_M(T/T_N)) = -47. \quad (2)$$

Полученное нами значение Γ_M в α – Mn имеет тот же порядок величины, что и магнитные параметры Грюнайзена в хроме⁸ и в сплавах γ –Mn с медью, существенно превышая в то же время Γ_M в других 3d переходных металлах⁹.

Литература

1. Yamada T., Kunitomi N. Nakai Y. J. Phys. Soc. Jap., 1970, 28, 615.
2. Petrenko N.S. Popov V.P., Finkel V.A. Phys. Lett. A, 1974, 47, 471.
3. Андрианов А.В., Бучельников В.Д., Васильев А.Н. и др. ЖЭТФ, 1990, 97,
4. Васильев А.Н., Гайдуков Ю.П. УФН, 1983, 141, 431.
5. Yamada T., Tazawa S. J. Phys. Soc. Jap., 1970, 28, 609.
6. Шутилов В.А. Основы физики ультразвука. Л.: ЛГУ, 1980.
7. Вонсовский С.В. Магнетизм. Наука, 1971.
8. Fawcett E. J. Phys.: Cond. Matt., 1989, 203.
9. Fawcett E. Phys. B, 1989, 159, 12.

Московский государственный университет
им. М.В.Ломоносова

Поступила в редакцию
14 августа 1990 г.